

Ушаков Александр Васильевич, Кожухов Виктор Анатольевич, Хохлов Константин Алексеевич

Научный руководитель: Академик РАО, д.т.н., профессор **Алашкевич Юрий Давыдович**





Размол волокнистой массы (В зависимости от содержания а.с.в. в водной среде)

Низкая концентрация (от 1 до 4 %)

Высокая концентрация (от 5% и выше)

Преимущества процесса размола массы высокой концентрации:

- 1.Сохранность исходной длины волокна;
- 2. Увеличение внутренней фибрилляции;
- 3. Увеличение срока службы размалывающих органов;

Целью данного исследования является изучение роли внешней фибрилляции волокна в обеспечении прочностных свойств бумажного листа при размоле массы высокой концентрации, с учетом силовых особенностей размалывающей гарнитуры.



Угол наклона окружного и прямолинейного ножа.

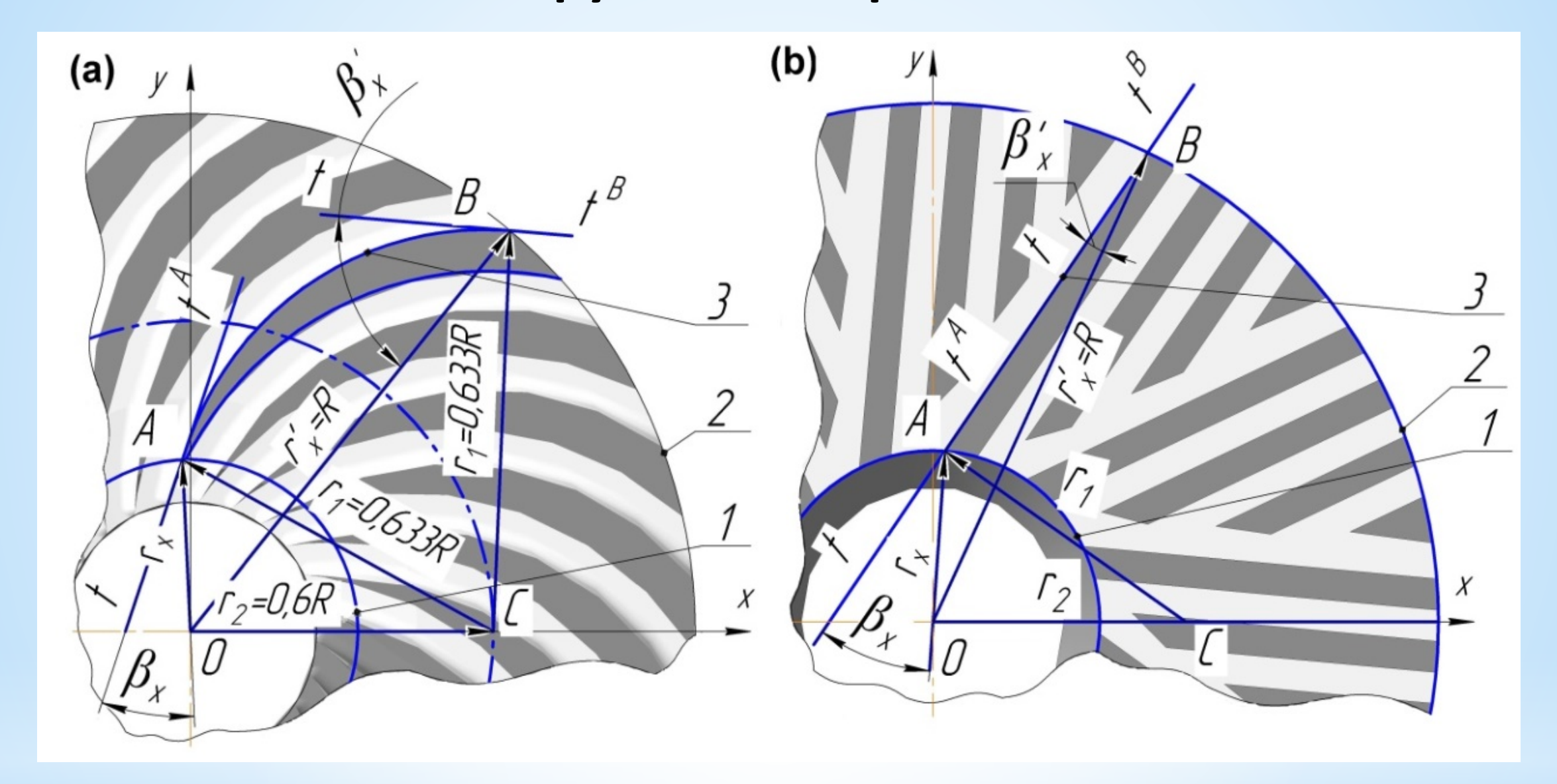


Рис. 1. геометрическое построение окружного и прямолинейного ножа (r1 — радиус кривизны; r2 — радиус центра кривизны; rx — радиус, проведенный из центра кривизны в точку касания; β x — угол между касательной t — tA и радиусом rx проведенным из центра диска O в точку касания A; β 'x — угол между касательной t — tB и радиусом r'x проведенным из центра диска O в точку касания B; окружная режущая кромка — 3)



Зависимость изменения угла βх из имеющихся геометрических данных рисунка 1:

$$\beta_{x} = 90^{\circ} - \arcsin \frac{r_{2} \cdot \sin \angle C}{\sqrt{r_{1}^{2} + r_{2}^{2} - 2 \cdot r_{1} \cdot r_{2} \cdot \cos \angle C}}$$
(1)

Аналитическим путем установлено, что угол β_x возрастает в том случае, когда радиус кривизны r_1 равен 0,633R, а радиус центра кривизны r_2 равен 0,6R. На данное конструктивное решение получено два патента на изобретение (Патент №2761544, №2761545)



Сравнительная характеристика касательной силы от угла наклона ножа вх.

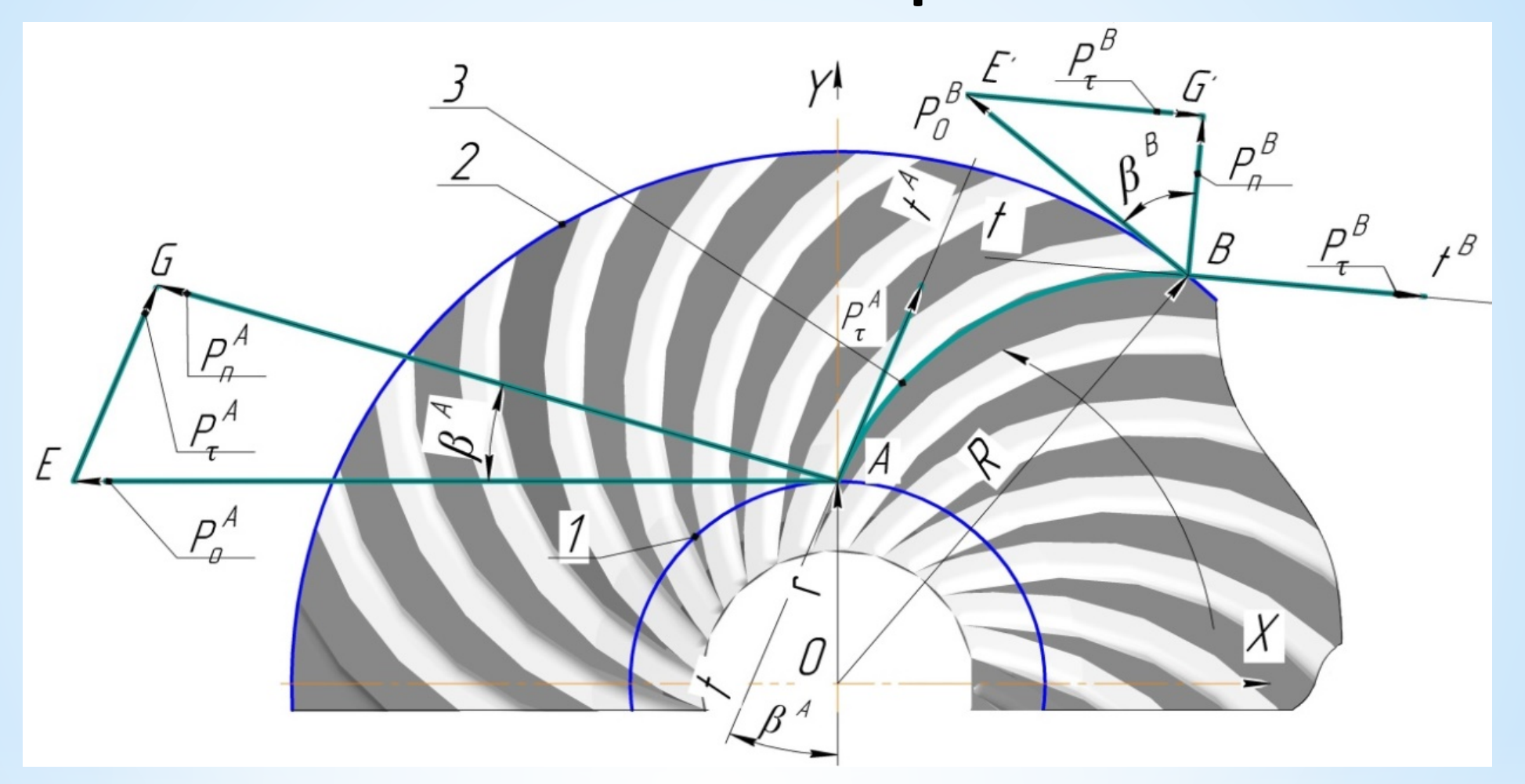


Рис. 2. Фрагмент размалывающей гарнитуры диска ротора с силовыми составляющими окружного ножа

Силовое воздействие в зоне размола за счет касательной составляющей:

$$\frac{P_{\tau}^{B}}{P_{\tau}^{A}} = \frac{\sin \angle \beta^{B} \cdot r}{\sin \angle \beta^{A} \cdot R} \tag{2}$$



Таблица 1. Сравнительная характеристика различных конструкций гарнитур

	с окружной формой ножей	секторная с прямолинейно й формой ножей	с прямолинейными ножами и равномерным их распределением
вид гарнитуры			
r, mm	38	38	38
R, MM	100	100	100
B ^A , °	22,6	22,6	22,6
B ^B , °	54,1	8,2	11,4
P_{τ}^{B} , H	102,8	18,1	25,1



Размол волокнистого полуфабриката

Размолу подвергалась сульфатная беленая целлюлоза из лиственных пород древесины марки ЛС 1 — полуфабрикат компании группы «Илим» из города Братск.

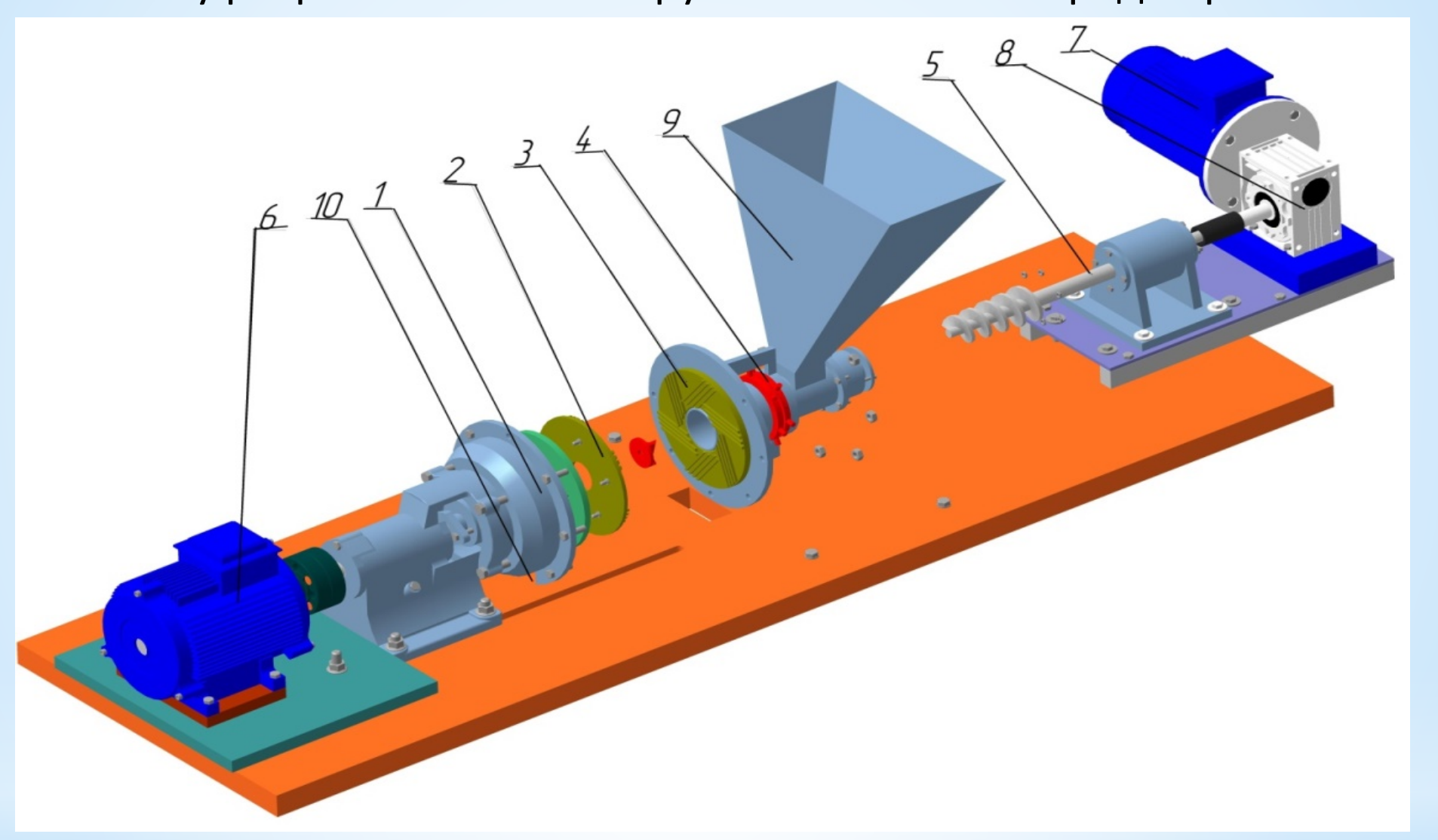


Рис. 3. Схема дисковой мельницы

(1 — зона размола; 2 —ротор, 3 — статор, 4 — присадочное устройство; 5 — шнековый питатель; 6 — электродвигатель ротора; 7 — электродвигатель привода шнекового питателя; 8 — червячный редуктор; 9 — бункер; 10 — выходное отверстие)



Методы испытаний

Определение индекса фибрилляции с помощью анализатора волокна *Morfi neo* (*ISO 16065-2*):

$$Fib = \frac{\sum_{i=1}^{N} F_i}{\sum_{i=1}^{N} L_i} \cdot 100\%$$
 (3)

Где F_i - сумма, составляющая общую длину всех отдельных фибрилл на волокне f_X $(f_A, f_B, f_C...)$ как показано на расчетной схеме рисунка 4;

 L_i - длина волокна.

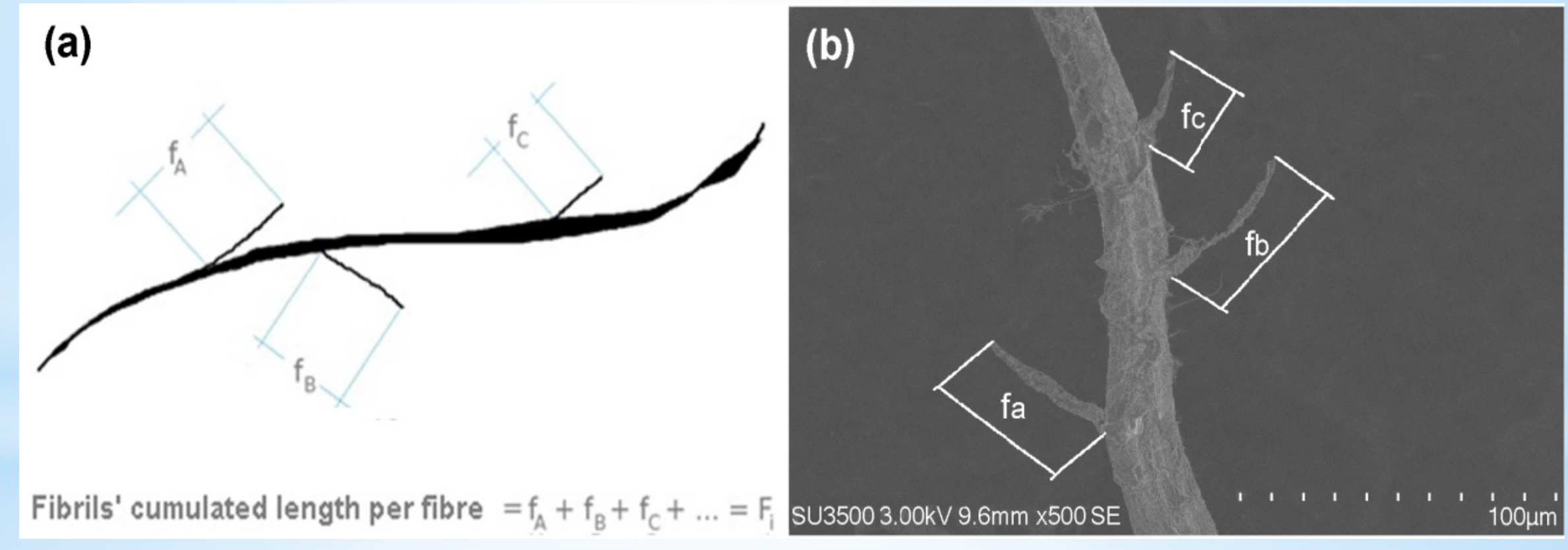
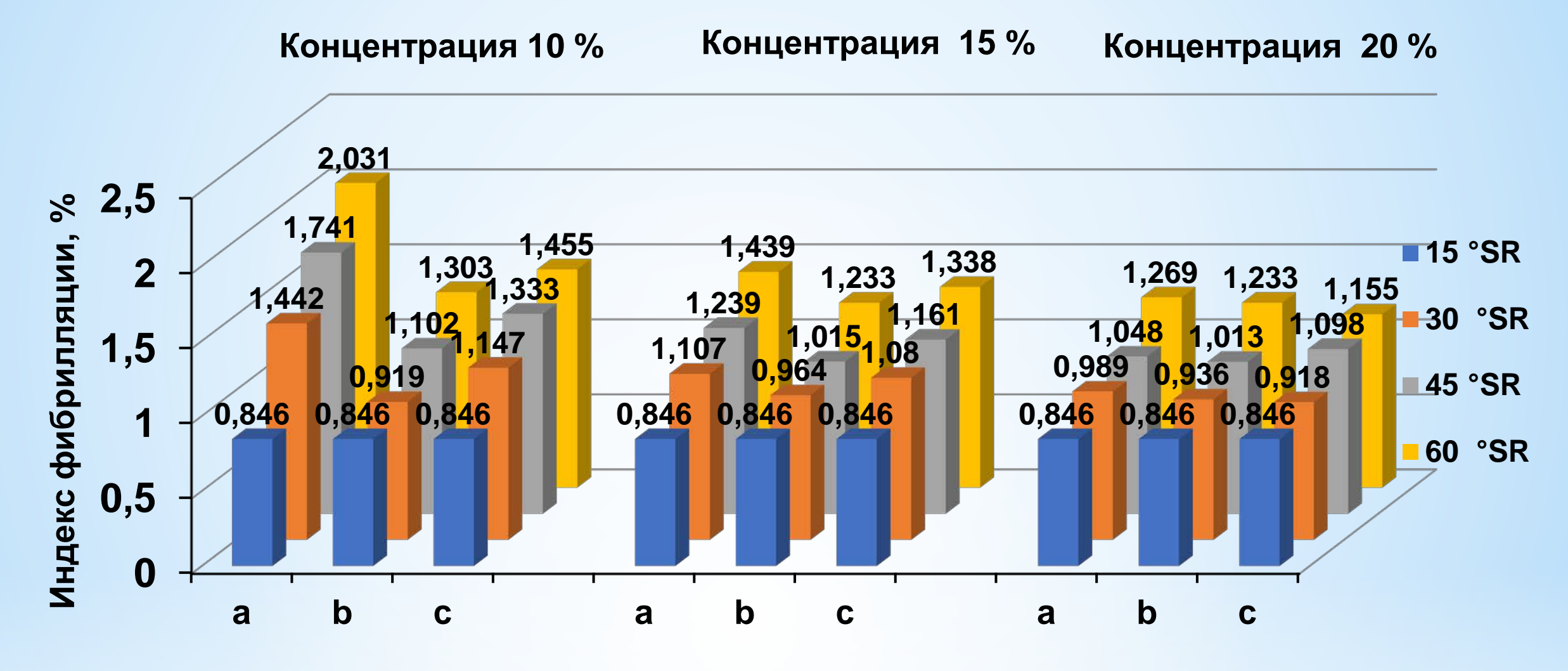


Рис.4. Распознавание внешних фибрилл: (a) — с помощью анализатора волокна; (b) — с помощью сканирующей электронной микроскопии Hitachi SU 3500



Изменение индекса фибрилляции.



Конструкции гарнитур: (a) - с окружной формой ножей; (b) - секторная с прямолинейной формой ножей; (c) - с прямолинейными ножами и равномерным их распределением

Рис. 5. Зависимость индекса фибрилляции от роста степени помола при различной консистенции волокнистой массы с использованием различных конструкций размалывающих гарнитур



Снимки волокон с помощью сканирующей электронной микроскопии (SEM) Hitachi SU 3500

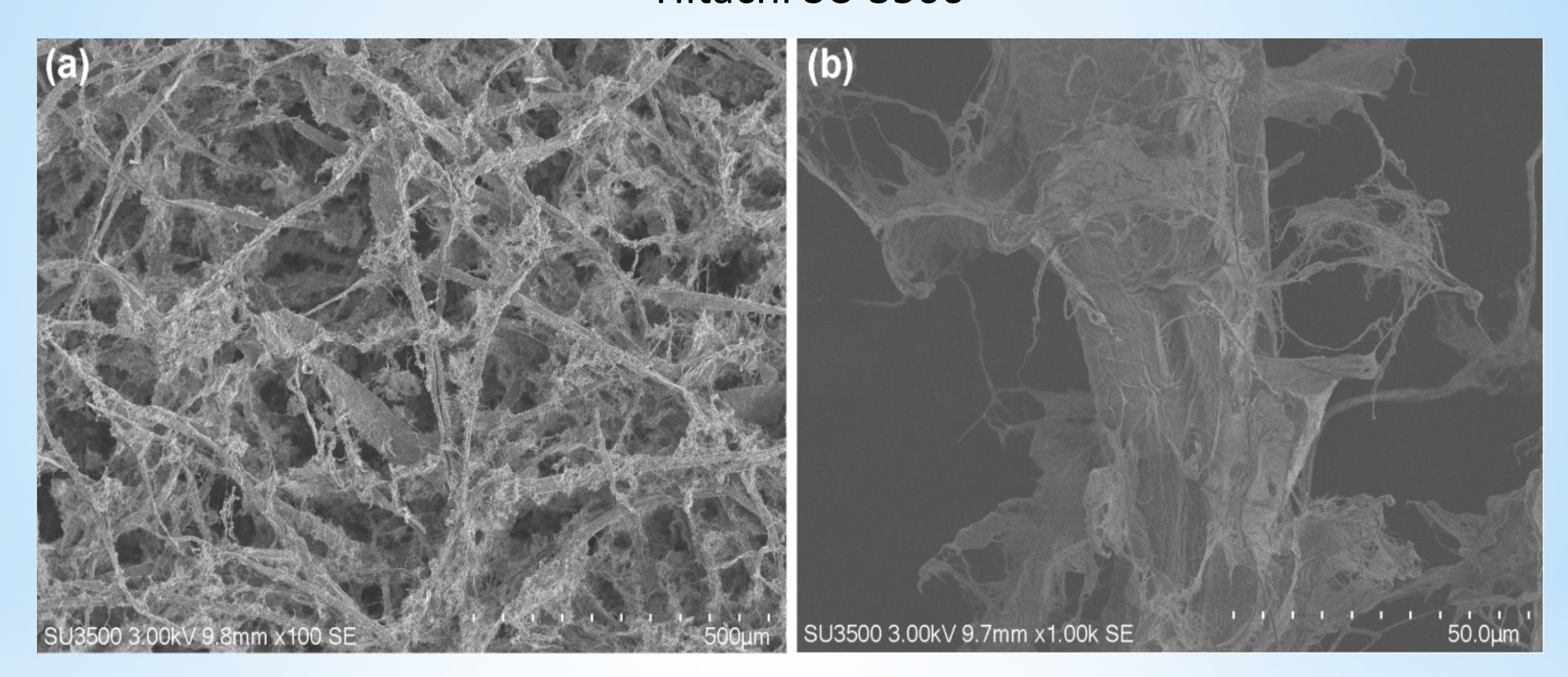


Рис. 6. SEM – изображения морфологической структуры волокон размолотых при использовании гарнитуры с окружной формой ножей; (a) – общий вид волокон; (b) – вид единичного волокна.



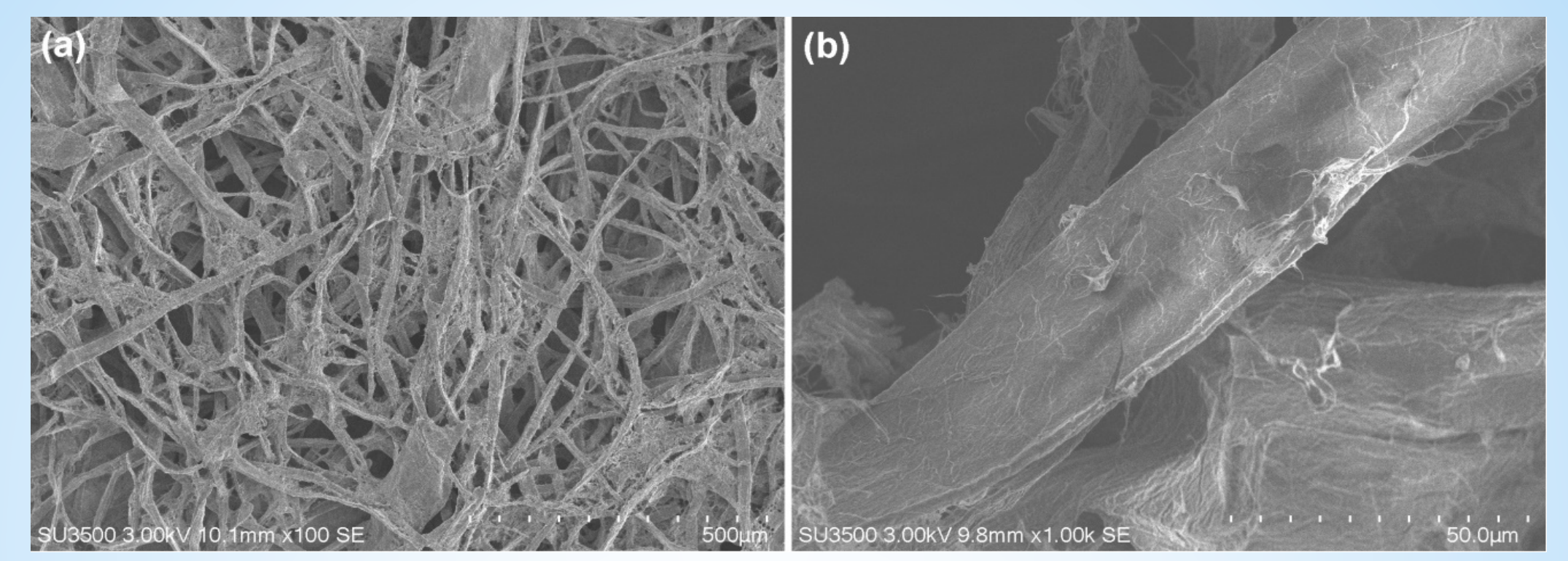


Рис. 7. SEM – изображения морфологической структуры волокон размолотых при использовании секторной гарнитуры с прямолинейной формой ножей; (а) – общий вид волокон; (b) – вид единичного волокна.

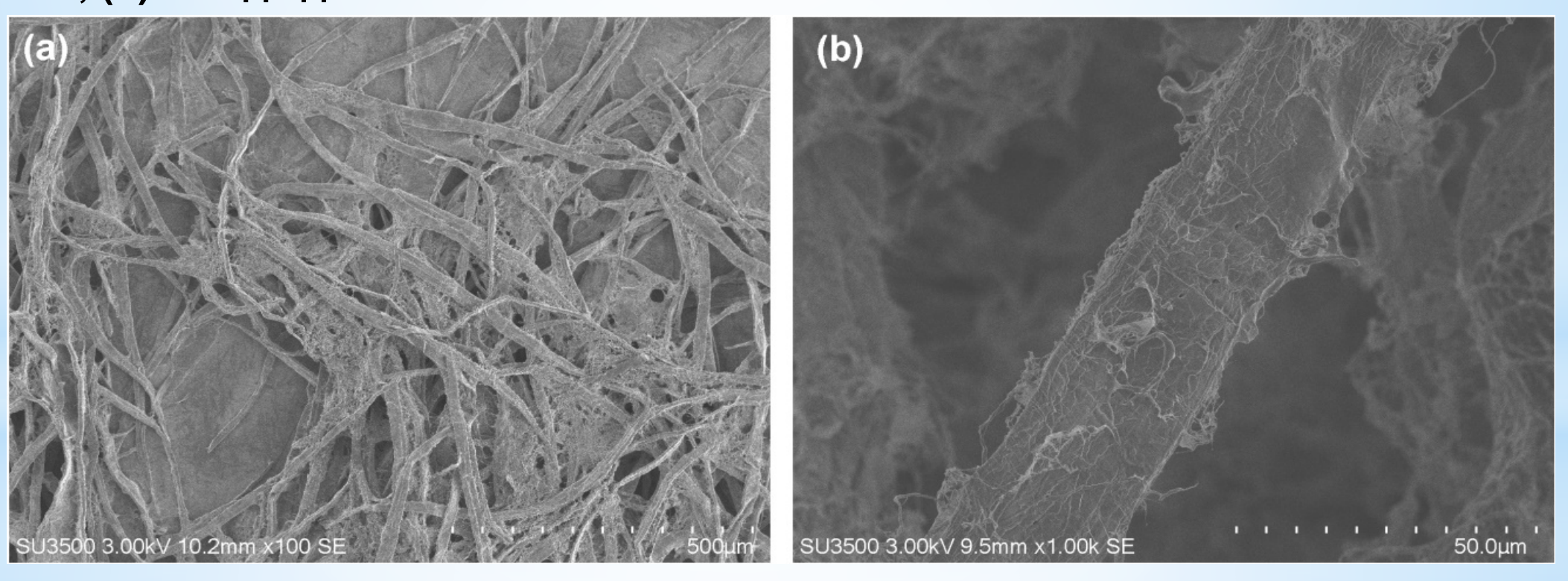
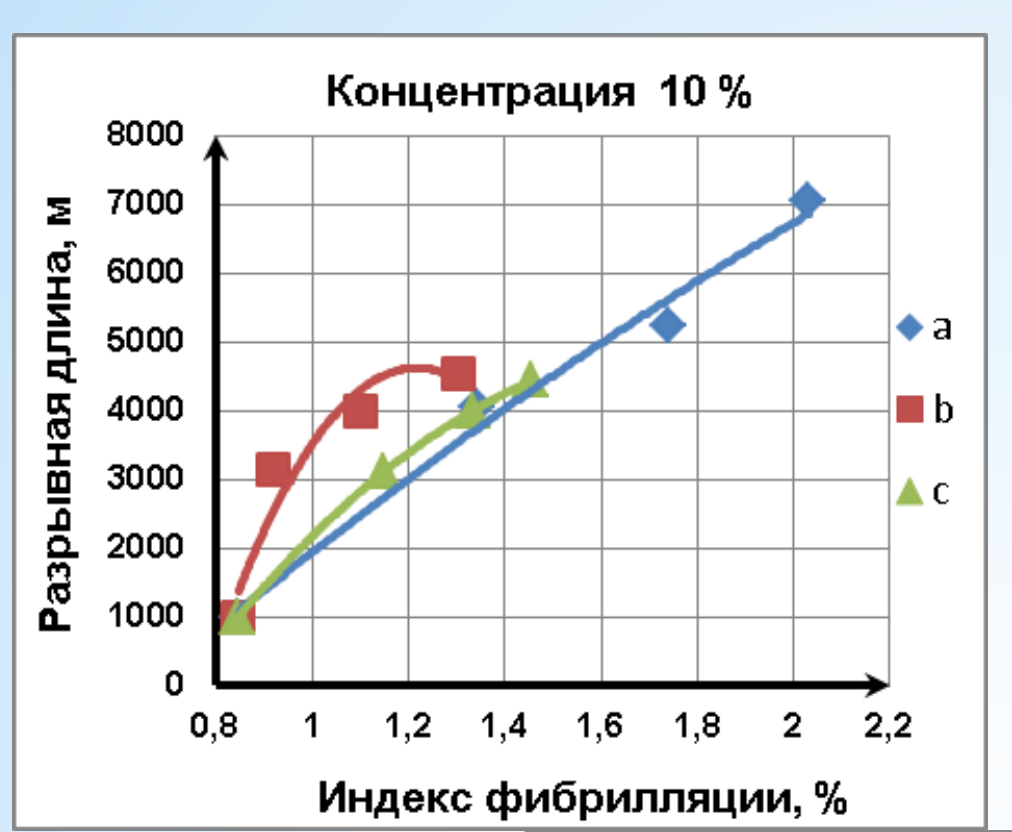
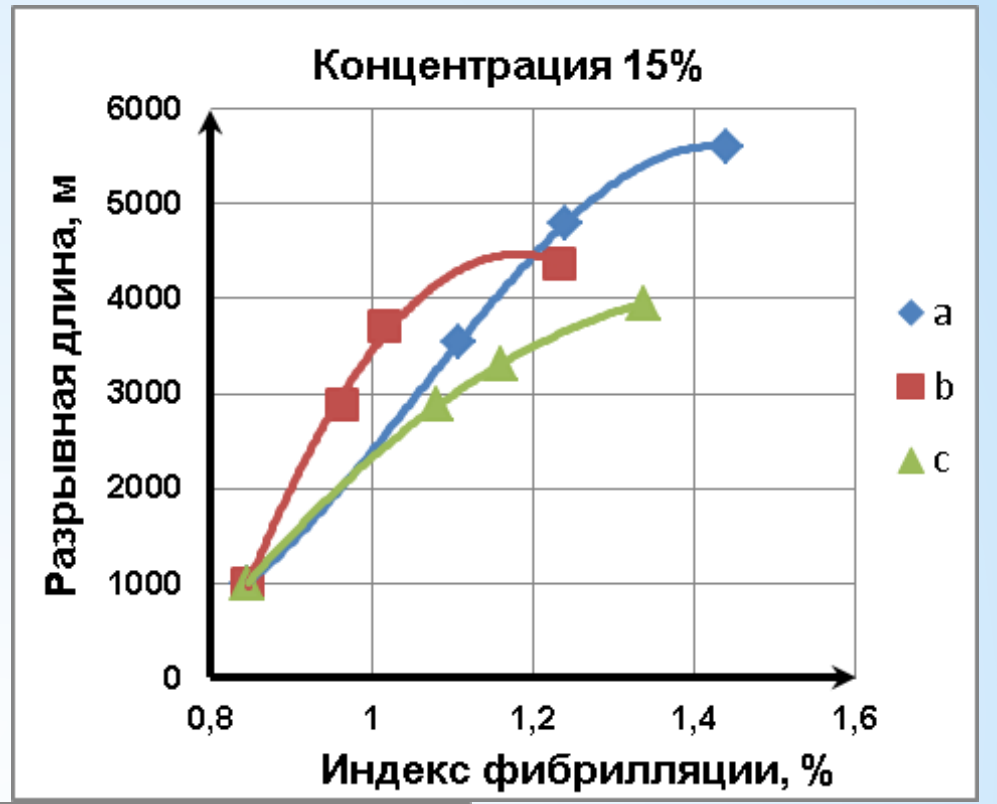


Рис. 8. SEM – изображения морфологической структуры волокон размолотых при использовании гарнитуры с прямолинейными ножами и равномерным их распределением; (а) – общий вид волокон; (b) – вид единичного волокна.







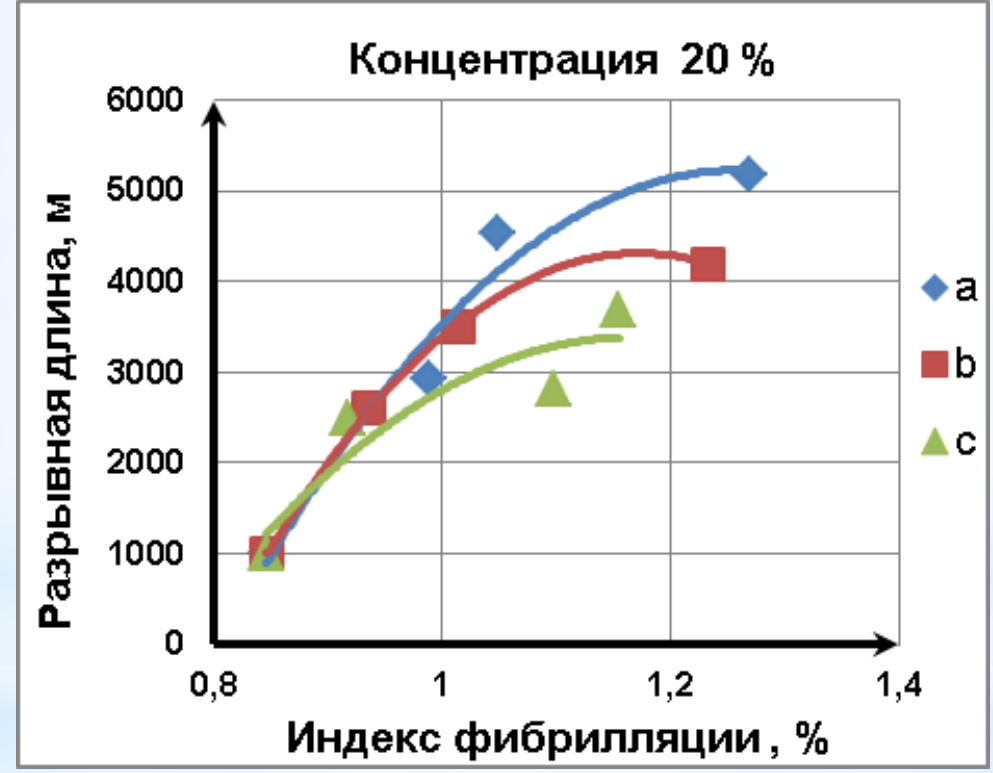
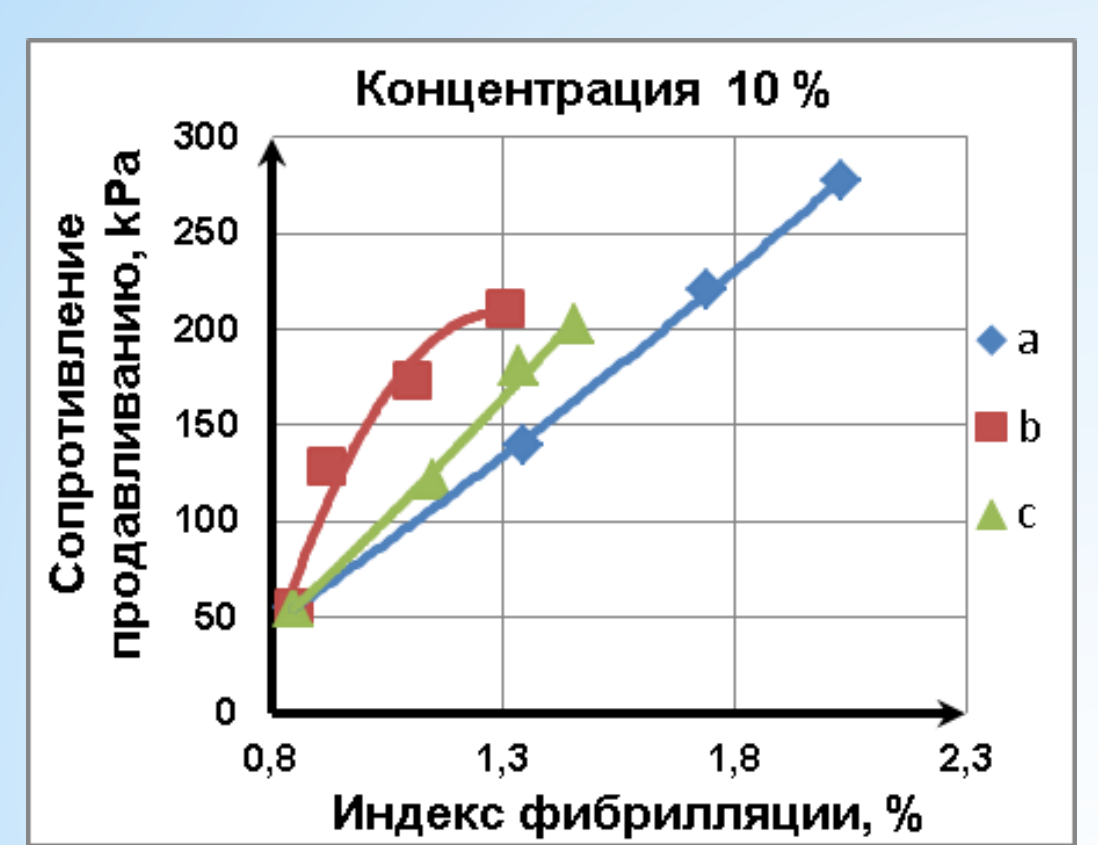
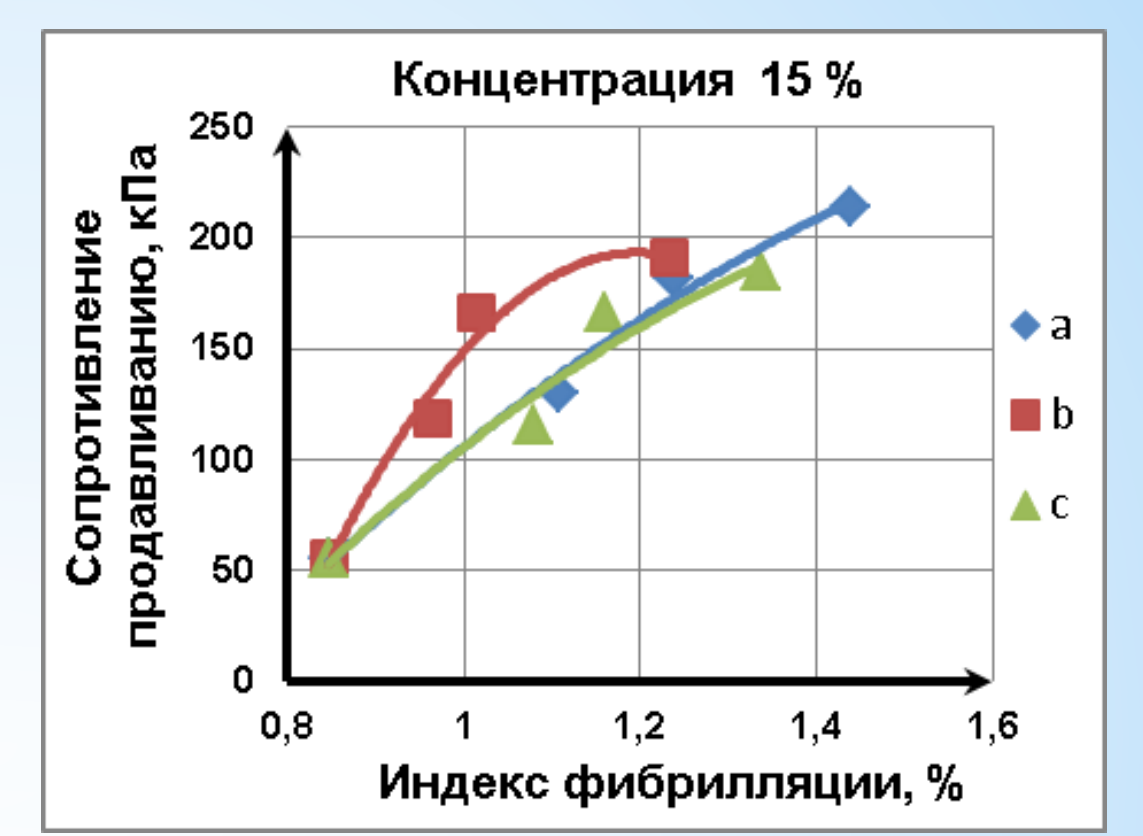


Рис. 9. Зависимость разрывной длины от индекса фибрилляции при различной концентрации волокнистой массы с использованием различных конструкций гарнитур: (а) — с окружной формой ножей; (b) — секторная с прямолинейной формой ножей; (c) — с прямолинейными ножами и равномерным их распределением.

12







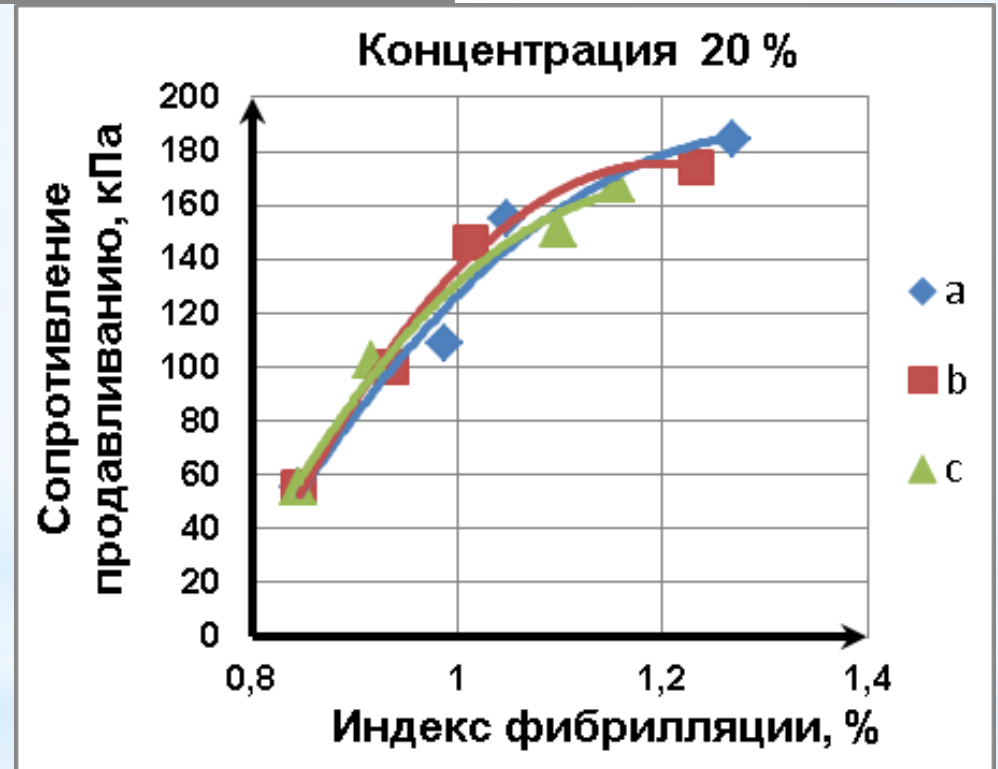
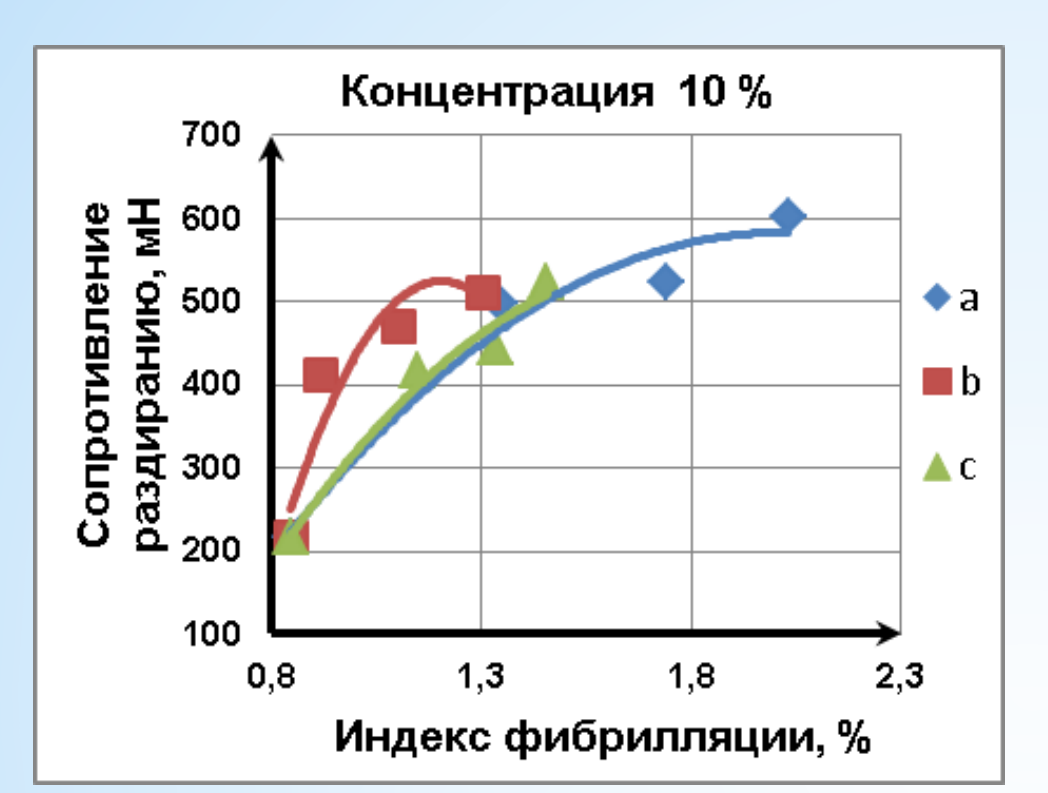
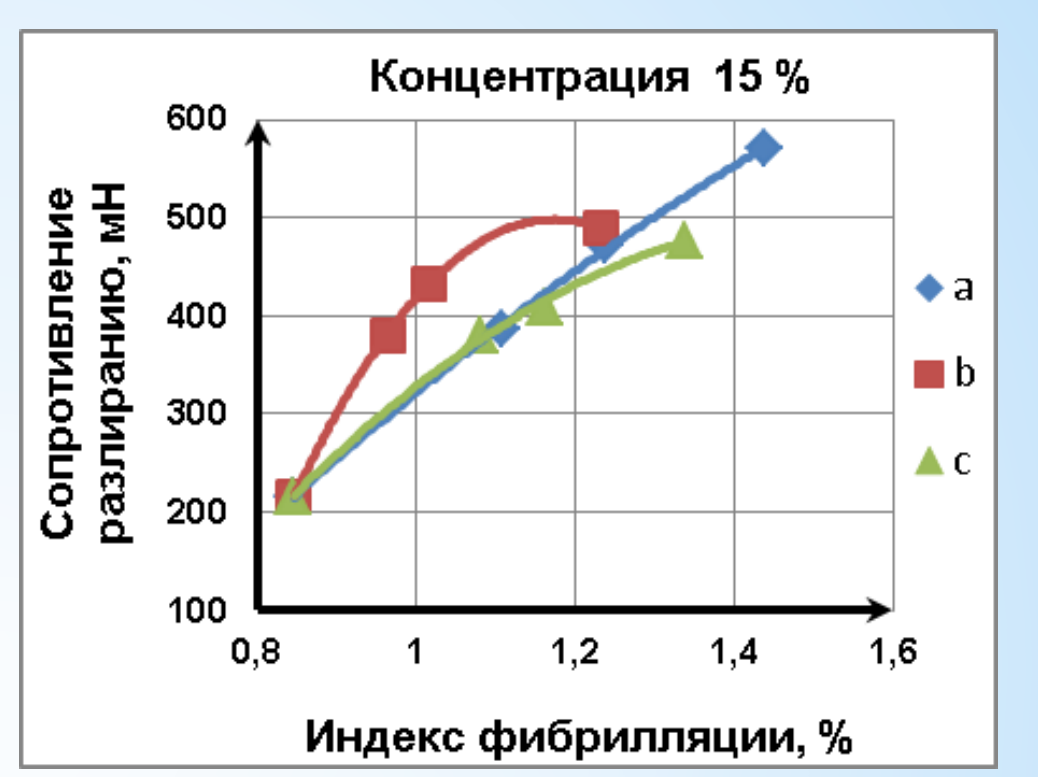


Рис. 10. Зависимость сопротивления продавливанию от индекса фибрилляции при различной концентрации волокнистой массы с использованием различных конструкций гарнитур: (a) — с окружной формой ножей; (b) — секторная с прямолинейной формой ножей; (c) — с прямолинейными ножами и равномерным их распределением.







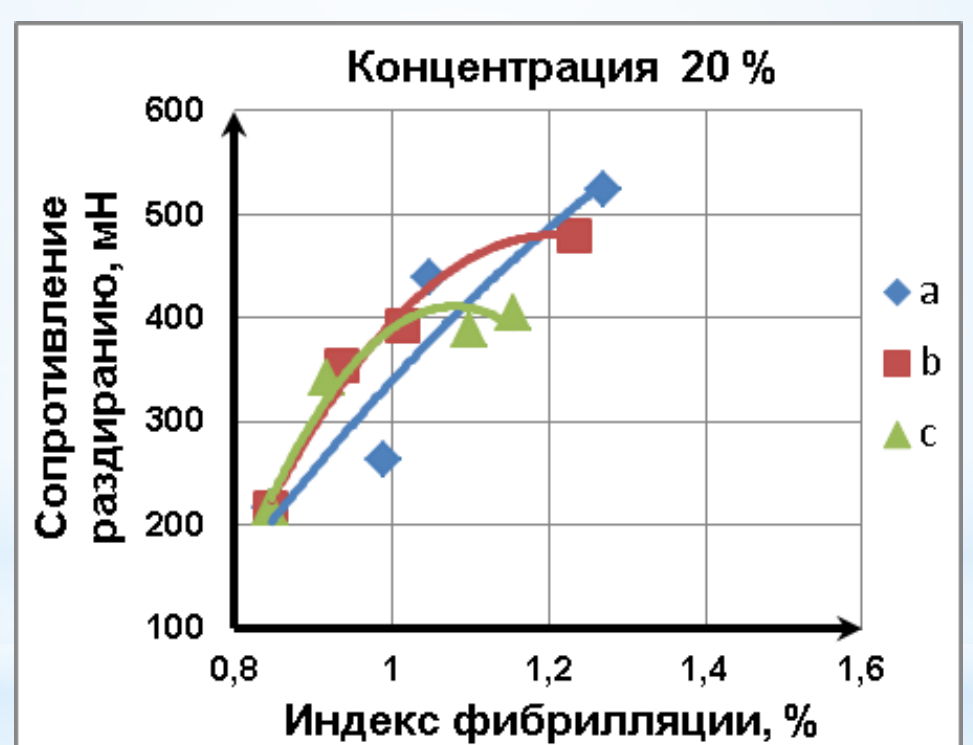


Рис. 11. Зависимость сопротивления раздиранию от индекса фибрилляции при различной концентрации волокнистой массы с использованием различных конструкций гарнитур: (a) - с окружной формой ножей; (b) - секторная с прямолинейной формой ножей; (с) – с прямолинейными ножами и равномерным их распределение



Выводы:

- 1.Установлено, что при размоле массы высокой концентрации наблюдается ярко выраженная внешняя фибрилляция волокон, о чем свидетельствуют данные индекса фибрилляции. Между индексом фибрилляции и физикомеханическими характеристиками имеется тесная взаимосвязь. Увеличение индекса фибрилляции на 50 % (при степени помола 60 °ШР) дает рост физикомеханических характеристик до 40 % (разрывной длины, сопротивления продавливанию и раздиранию)
- 2.Побудителем фибриллирующего воздействия на волокно в процессе размола массы высокой концентрации могут являться не только силы межволоконного трения, но и касательные силы, возникающие на ножах размалывающих гарнитур. Исходя из данных индекса фибрилляции видно, что наиболее высокая внешняя фибрилляция наблюдается у волокнистой массы, размолотой при использовании гарнитуры с окружной формой ножей у которой касательная сила имеет более высокое количественное значение, чем у традиционных гарнитур с прямолинейной формой ножей. Наиболее высокая внешняя фибрилляция наблюдается у волокнистой массы, размолотой при концентрации 10 %.